Eingabe: Farbmetrisches Offset-Reflektiv-System ORS18

für Buntton *h* = lab*h = 38/360 = 0.106*
*lab*tch* und *lab*nch*

A: Buntton O
LCH*Ma: 48 82 38
olv*Ma: 1.0 0.0 0.0

Dreiecks-Helligkeit *t**

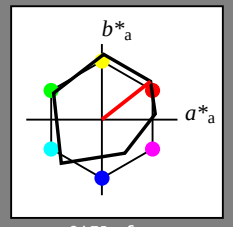

%Umfang

u*$_{rel}$ = 96

ORS18; adaptierte CIELAB-Daten

	L*=L*$_a$	a*$_a$	b*$_a$	C*$_{ab,a}$	h*$_{ab,a}$
O$_{Ma}$	47.94	64.42	50.58	81.9	38
Y$_{Ma}$	92.62	2.41	86.36	86.39	88
L$_{Ma}$	50.9	−63.82	35.02	72.81	151
C$_{Ma}$	51.25	−53.68	−57.69	78.82	227
V$_{Ma}$	25.72	30.34	−44.37	53.76	304
M$_{Ma}$	56.25	70.59	7.57	70.99	6
N$_{Ma}$	18.11	0.0	0.0	0.0	0
W$_{Ma}$	95.6	0.0	0.0	0.0	0
R$_{CIE}$	47.79	60.85	41.08	73.41	34
J$_{CIE}$	83.82	6.52	66.9	67.22	84
G$_{CIE}$	49.0	−36.83	2.78	36.95	176
B$_{CIE}$	25.14	−18.35	−56.22	59.15	252

%Regularität

g*$_{H,rel}$ = −385

g*$_{C,rel}$ = 62

Ausgabe: Farbmetrisches Fernseh-Licht-System TLS00

für Buntton *h* = lab*h = 35/360 = 0.097*
*lab*tch* und *lab*nch*

A: Buntton O
LCH*Ma: 66 90 35
olv*Ma: 1.0 0.0 0.0

Dreiecks-Helligkeit *t**

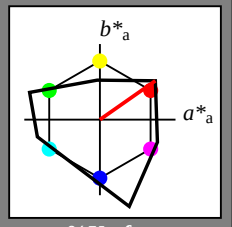

%Umfang

u*$_{rel}$ = 141

TLS00; adaptierte CIELAB-Daten

	L*=L*$_a$	a*$_a$	b*$_a$	C*$_{ab,a}$	h*$_{ab,a}$
O$_{Ma}$	65.56	73.34	51.39	89.55	35
Y$_{Ma}$	94.78	−3.49	52.24	52.36	94
L$_{Ma}$	77.48	−92.97	36.0	99.71	159
C$_{Ma}$	78.36	−82.69	−22.74	85.77	195
V$_{Ma}$	12.55	38.81	−114.81	121.2	289
M$_{Ma}$	66.71	76.08	−29.8	81.71	339
N$_{Ma}$	0.01	0.0	0.0	0.0	0
W$_{Ma}$	95.41	0.0	0.0	0.0	0
R$_{CIE}$	47.79	61.74	42.56	74.99	35
J$_{CIE}$	83.82	7.06	70.78	71.13	84
G$_{CIE}$	49.0	−35.95	4.34	36.22	173
B$_{CIE}$	25.14	−17.24	−56.24	58.84	253

%Regularität

g*$_{H,rel}$ = 39

g*$_{C,rel}$ = 43

1,00
0,75
0,25
0,00
n* = 0,00
n* = 0,25
n* = 0,50
n* = 1,0
0,25
0,50
0,75
1,00
Schwarzheit *n**
relative Buntheit *c**

RG500−7, 5 stufige Reihen für konstanten CIELAB Buntton 38/360 = 0.106 (links)
5 stufige Reihen für konstanten CIELAB Buntton 35/360 = 0.097 (rechts)

Eingabe: Farbmetrisches Offset-Reflektiv-System ORS18

für Buntton *h* = lab*h = 88/360 = 0.246*
*lab*tch* und *lab*nch*

A: Buntton Y
LCH*Ma: 93 86 88
olv*Ma: 1.0 1.0 0.0

Dreiecks-Helligkeit *t**

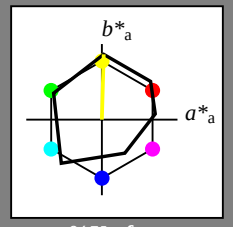

%Umfang

u*$_{rel}$ = 96

ORS18; adaptierte CIELAB-Daten

	L*=L*$_a$	a*$_a$	b*$_a$	C*$_{ab,a}$	h*$_{ab,a}$
O$_{Ma}$	47.94	64.42	50.58	81.9	38
Y$_{Ma}$	92.62	2.41	86.36	86.39	88
L$_{Ma}$	50.9	−63.82	35.02	72.81	151
C$_{Ma}$	51.25	−53.68	−57.69	78.82	227
V$_{Ma}$	25.72	30.34	−44.37	53.76	304
M$_{Ma}$	56.25	70.59	7.57	70.99	6
N$_{Ma}$	18.11	0.0	0.0	0.0	0
W$_{Ma}$	95.6	0.0	0.0	0.0	0
R$_{CIE}$	47.79	60.85	41.08	73.41	34
J$_{CIE}$	83.82	6.52	66.9	67.22	84
G$_{CIE}$	49.0	−36.83	2.78	36.95	176
B$_{CIE}$	25.14	−18.35	−56.22	59.15	252

1,00

%Regularität

g*$_{H,rel}$ = −385

g*$_{C,rel}$ = 62

0,75

0,25

0,00

n* = 0,00

n* = 0,25

n* = 0,50

n* = 1,0

Schwarzheit *n**

0,25 0,50 0,75 1,00

relative Buntheit *c**

Ausgabe: Farbmetrisches Fernseh-Licht-System TLS00

für Buntton *h* = lab*h = 94/360 = 0.261*
*lab*tch* und *lab*nch*

A: Buntton Y
LCH*Ma: 95 52 94
olv*Ma: 1.0 1.0 0.0

Dreiecks-Helligkeit *t**

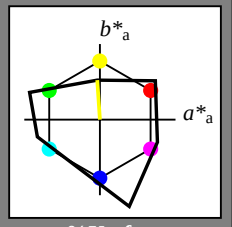

%Umfang

u*$_{rel}$ = 141

TLS00; adaptierte CIELAB-Daten

	L*=L*$_a$	a*$_a$	b*$_a$	C*$_{ab,a}$	h*$_{ab,a}$
O$_{Ma}$	65.56	73.34	51.39	89.55	35
Y$_{Ma}$	94.78	−3.49	52.24	52.36	94
L$_{Ma}$	77.48	−92.97	36.0	99.71	159
C$_{Ma}$	78.36	−82.69	−22.74	85.77	195
V$_{Ma}$	12.55	38.81	−114.81	121.2	289
M$_{Ma}$	66.71	76.08	−29.8	81.71	339
N$_{Ma}$	0.01	0.0	0.0	0.0	0
W$_{Ma}$	95.41	0.0	0.0	0.0	0
R$_{CIE}$	47.79	61.74	42.56	74.99	35
J$_{CIE}$	83.82	7.06	70.78	71.13	84
G$_{CIE}$	49.0	−35.95	4.34	36.22	173
B$_{CIE}$	25.14	−17.24	−56.24	58.84	253

%Regularität

g*$_{H,rel}$ = 39

g*$_{C,rel}$ = 43

Eingabe: Farbmetrisches Offset-Reflektiv-System ORS18

für Buntton *h* = lab*h = 151/360 = 0.42*
*lab*tch* und *lab*nch*

A: Buntton L
LCH*Ma: 51 73 151
olv*Ma: 0.0 1.0 0.0

Dreiecks-Helligkeit *t**

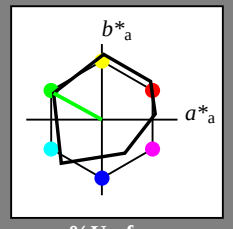

%Umfang

u*$_{rel}$ = 96

ORS18; adaptierte CIELAB-Daten

	L*=L*a	a*a	b*a	C*ab,a	h*ab,a
O_{Ma}	47.94	64.42	50.58	81.9	38
Y_{Ma}	92.62	2.41	86.36	86.39	88
L_{Ma}	50.9	−63.82	35.02	72.81	151
C_{Ma}	51.25	−53.68	−57.69	78.82	227
V_{Ma}	25.72	30.34	−44.37	53.76	304
M_{Ma}	56.25	70.59	7.57	70.99	6
N_{Ma}	18.11	0.0	0.0	0.0	0
W_{Ma}	95.6	0.0	0.0	0.0	0
R_{CIE}	47.79	60.85	41.08	73.41	34
J_{CIE}	83.82	6.52	66.9	67.22	84
G_{CIE}	49.0	−36.83	2.78	36.95	176
B_{CIE}	25.14	−18.35	−56.22	59.15	252

%Regularität

g*$_{H,rel}$ = −385

g*$_{C,rel}$ = 62

1,00
0,75
0,25
0,00

n = 0,00*
n = 0,25*
n = 0,50*
n = 1,0*

Schwarzheit *n**

0,25 0,50 0,75 1,00

relative Buntheit *c**

Ausgabe: Farbmetrisches Fernseh-Licht-System TLS00

für Buntton *h* = lab*h = 159/360 = 0.441*
*lab*tch* und *lab*nch*

A: Buntton L
LCH*Ma: 77 100 159
olv*Ma: 0.0 1.0 0.0

Dreiecks-Helligkeit *t**

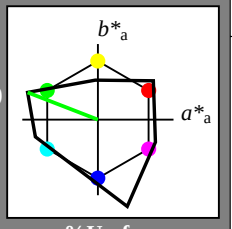

%Umfang

u*$_{rel}$ = 141

TLS00; adaptierte CIELAB-Daten

	L*=L*a	a*a	b*a	C*ab,a	h*ab,a
O_{Ma}	65.56	73.34	51.39	89.55	35
Y_{Ma}	94.78	−3.49	52.24	52.36	94
L_{Ma}	77.48	−92.97	36.0	99.71	159
C_{Ma}	78.36	−82.69	−22.74	85.77	195
V_{Ma}	12.55	38.81	−114.81	121.2	289
M_{Ma}	66.71	76.08	−29.8	81.71	339
N_{Ma}	0.01	0.0	0.0	0.0	0
W_{Ma}	95.41	0.0	0.0	0.0	0
R_{CIE}	47.79	61.74	42.56	74.99	35
J_{CIE}	83.82	7.06	70.78	71.13	84
G_{CIE}	49.0	−35.95	4.34	36.22	173
B_{CIE}	25.14	−17.24	−56.24	58.84	253

%Regularität

g*$_{H,rel}$ = 39

g*$_{C,rel}$ = 43

n = 0,00*
n = 0,25*
n = 0,50*
n = 1,0*

Schwarzheit *n**

0,25 0,50 0,75 1,00

relative Buntheit *c**

RG500−7, 5 stufige Reihen für konstanten CIELAB Buntton 151/360 = 0.42 (links)

5 stufige Reihen für konstanten CIELAB Buntton 159/360 = 0.441 (rechts)

Eingabe: Farbmetrisches Offset-Reflektiv-System ORS18

für Buntton *h* = lab*h = 227/360 = 0.631*
*lab*tch* und *lab*nch*

A: Buntton C
LCH*Ma: 51 79 227
olv*Ma: 0.0 1.0 1.0

Dreiecks-Helligkeit *t**

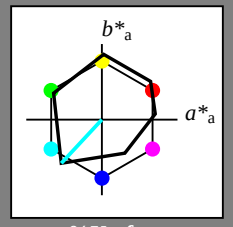

%Umfang

u*$_{rel}$ = 96

ORS18; adaptierte CIELAB-Daten

	L*=L*$_a$	a*$_a$	b*$_a$	C*$_{ab,a}$	h*$_{ab,a}$
O_{Ma}	47.94	64.42	50.58	81.9	38
Y_{Ma}	92.62	2.41	86.36	86.39	88
L_{Ma}	50.9	−63.82	35.02	72.81	151
C_{Ma}	51.25	−53.68	−57.69	78.82	227
V_{Ma}	25.72	30.34	−44.37	53.76	304
M_{Ma}	56.25	70.59	7.57	70.99	6
N_{Ma}	18.11	0.0	0.0	0.0	0
W_{Ma}	95.6	0.0	0.0	0.0	0
R_{CIE}	47.79	60.85	41.08	73.41	34
J_{CIE}	83.82	6.52	66.9	67.22	84
G_{CIE}	49.0	−36.83	2.78	36.95	176
B_{CIE}	25.14	−18.35	−56.22	59.15	252

%Regularität

g*$_{H,rel}$ = −385

g*$_{C,rel}$ = 62

1,00
0,75
0,25
0,00

Schwarzheit *n**

*n** = 0,00
*n** = 0,25
*n** = 0,50
*n** = 1,0

0,25 0,50 0,75 1,00

relative Buntheit *c**

Ausgabe: Farbmetrisches Fernseh-Licht-System TLS00

für Buntton *h* = lab*h = 195/360 = 0.543*
*lab*tch* und *lab*nch*

A: Buntton C
LCH*Ma: 78 86 195
olv*Ma: 0.0 1.0 1.0

Dreiecks-Helligkeit *t**

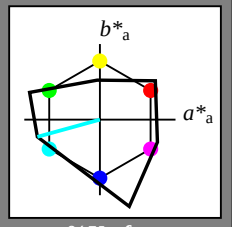

%Umfang

u*$_{rel}$ = 141

TLS00; adaptierte CIELAB-Daten

	L*=L*$_a$	a*$_a$	b*$_a$	C*$_{ab,a}$	h*$_{ab,a}$
O_{Ma}	65.56	73.34	51.39	89.55	35
Y_{Ma}	94.78	−3.49	52.24	52.36	94
L_{Ma}	77.48	−92.97	36.0	99.71	159
C_{Ma}	78.36	−82.69	−22.74	85.77	195
V_{Ma}	12.55	38.81	−114.81	121.2	289
M_{Ma}	66.71	76.08	−29.8	81.71	339
N_{Ma}	0.01	0.0	0.0	0.0	0
W_{Ma}	95.41	0.0	0.0	0.0	0
R_{CIE}	47.79	61.74	42.56	74.99	35
J_{CIE}	83.82	7.06	70.78	71.13	84
G_{CIE}	49.0	−35.95	4.34	36.22	173
B_{CIE}	25.14	−17.24	−56.24	58.84	253

%Regularität

g*$_{H,rel}$ = 39

g*$_{C,rel}$ = 43

1,00
0,75
0,25
0,00

Schwarzheit *n**

*n** = 0,00
*n** = 0,25
*n** = 0,50
*n** = 1,0

0,25 0,50 0,75 1,00

relative Buntheit *c**

RG500−7, 5 stufige Reihen für konstanten CIELAB Buntton 227/360 = 0.631 (links)
5 stufige Reihen für konstanten CIELAB Buntton 195/360 = 0.543 (rechts)

Eingabe: Farbmetrisches Offset-Reflektiv-System ORS18

für Buntton *h* = lab*h = 304/360 = 0.845*
*lab*tch* und *lab*nch*

A: Buntton V
LCH*Ma: 26 54 304
olv*Ma: 0.0 0.0 1.0

Dreiecks-Helligkeit *t**

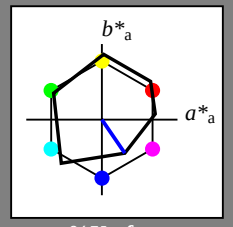

%Umfang

u*$_{rel}$ = 96

ORS18; adaptierte CIELAB-Daten

	L*=L*a	a*a	b*a	C*ab,a	h*ab,a
O_{Ma}	47.94	64.42	50.58	81.9	38
Y_{Ma}	92.62	2.41	86.36	86.39	88
L_{Ma}	50.9	−63.82	35.02	72.81	151
C_{Ma}	51.25	−53.68	−57.69	78.82	227
V_{Ma}	25.72	30.34	−44.37	53.76	304
M_{Ma}	56.25	70.59	7.57	70.99	6
N_{Ma}	18.11	0.0	0.0	0.0	0
W_{Ma}	95.6	0.0	0.0	0.0	0
R_{CIE}	47.79	60.85	41.08	73.41	34
J_{CIE}	83.82	6.52	66.9	67.22	84
G_{CIE}	49.0	−36.83	2.78	36.95	176
B_{CIE}	25.14	−18.35	−56.22	59.15	252

%Regularität

g*$_{H,rel}$ = −385

g*$_{C,rel}$ = 62

Ausgabe: Farbmetrisches Fernseh-Licht-System TLS00

für Buntton *h* = lab*h = 289/360 = 0.802*
*lab*tch* und *lab*nch*

A: Buntton V
LCH*Ma: 13 121 289
olv*Ma: 0.0 0.0 1.0

Dreiecks-Helligkeit *t**

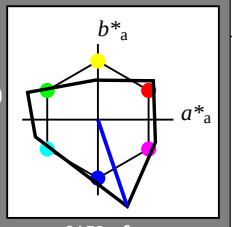

%Umfang

u*$_{rel}$ = 141

TLS00; adaptierte CIELAB-Daten

	L*=L*a	a*a	b*a	C*ab,a	h*ab,a
O_{Ma}	65.56	73.34	51.39	89.55	35
Y_{Ma}	94.78	−3.49	52.24	52.36	94
L_{Ma}	77.48	−92.97	36.0	99.71	159
C_{Ma}	78.36	−82.69	−22.74	85.77	195
V_{Ma}	12.55	38.81	−114.81	121.2	289
M_{Ma}	66.71	76.08	−29.8	81.71	339
N_{Ma}	0.01	0.0	0.0	0.0	0
W_{Ma}	95.41	0.0	0.0	0.0	0
R_{CIE}	47.79	61.74	42.56	74.99	35
J_{CIE}	83.82	7.06	70.78	71.13	84
G_{CIE}	49.0	−35.95	4.34	36.22	173
B_{CIE}	25.14	−17.24	−56.24	58.84	253

%Regularität

g*$_{H,rel}$ = 39

g*$_{C,rel}$ = 43

1,00
0,75
0,50
0,25
0,00

n* = 1,0
n* = 0,75
n* = 0,50
n* = 0,25
n* = 0,00

Schwarzheit *n**

0,25 0,50 0,75 1,00

relative Buntheit *c**

RG500−7, 5 stufige Reihen für konstanten CIELAB Buntton 304/360 = 0.845 (links)

5 stufige Reihen für konstanten CIELAB Buntton 289/360 = 0.802 (rechts)

BAM-Prüfvorlage RG50; Farbmetrik-Systeme ORS18 & ORS18
A: 2 Koordinatendaten; 5stufige Farbreihen für 10 Bunttöne

input: *olv* setrgbcolor*
output: *Startup (S) data dependend*

Eingabe: Farbmetrisches Offset-Reflektiv-System ORS18

für Buntton *h* = lab*h = 6/360 = 0.017*
*lab*tch* und *lab*nch*

A: Buntton M
LCH*Ma: 56 71 6
olv*Ma: 1.0 0.0 1.0

Dreiecks-Helligkeit *t**

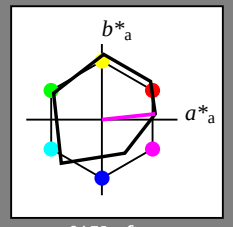

%Umfang
u*$_{rel}$ = 96

%Regularität
g*$_{H,rel}$ = −385
g*$_{C,rel}$ = 62

ORS18; adaptierte CIELAB-Daten

	L*=L*$_a$	a*$_a$	b*$_a$	C*$_{ab,a}$	h*$_{ab,a}$
O$_{Ma}$	47.94	64.42	50.58	81.9	38
Y$_{Ma}$	92.62	2.41	86.36	86.39	88
L$_{Ma}$	50.9	−63.82	35.02	72.81	151
C$_{Ma}$	51.25	−53.68	−57.69	78.82	227
V$_{Ma}$	25.72	30.34	−44.37	53.76	304
M$_{Ma}$	56.25	70.59	7.57	70.99	6
N$_{Ma}$	18.11	0.0	0.0	0.0	0
W$_{Ma}$	95.6	0.0	0.0	0.0	0
R$_{CIE}$	47.79	60.85	41.08	73.41	34
J$_{CIE}$	83.82	6.52	66.9	67.22	84
G$_{CIE}$	49.0	−36.83	2.78	36.95	176
B$_{CIE}$	25.14	−18.35	−56.22	59.15	252

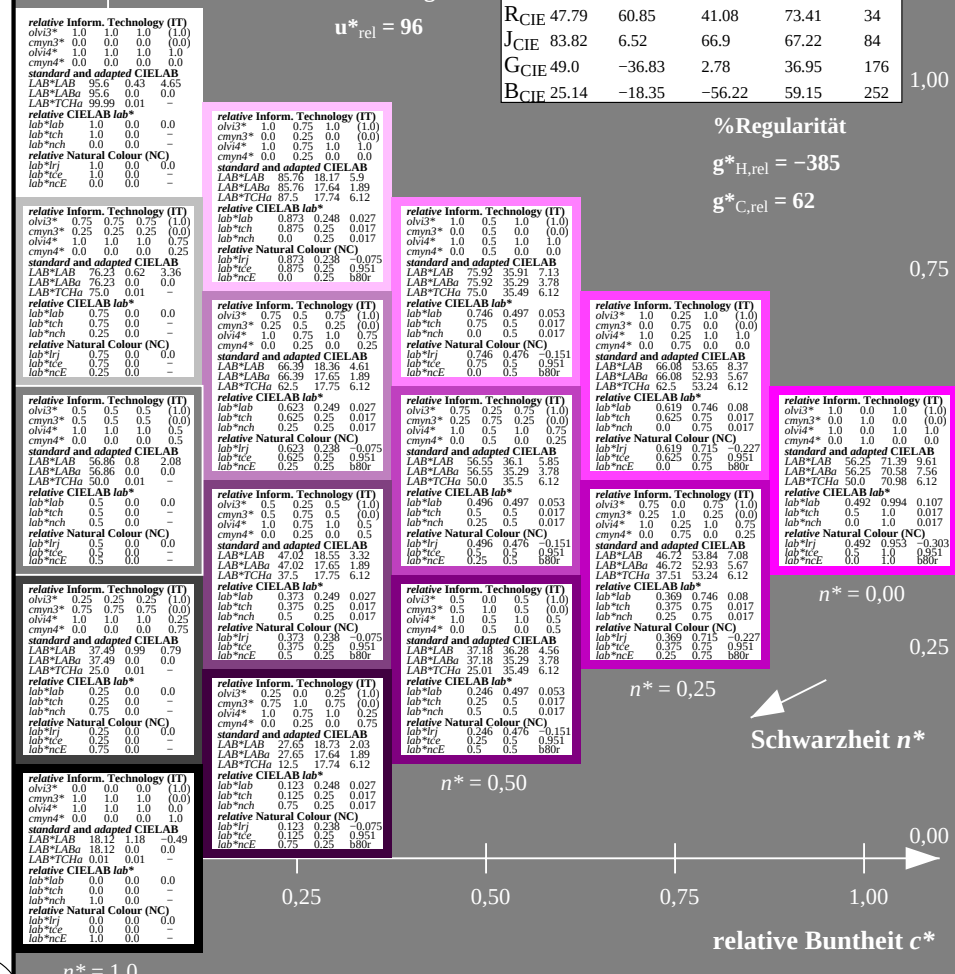

RG500−7, 5 stufige Reihen für konstanten CIELAB Buntton 6/360 = 0.017 (links)

Ausgabe: Farbmetrisches Fernseh-Licht-System TLS00

für Buntton *h* = lab*h = 339/360 = 0.941*
*lab*tch* und *lab*nch*

A: Buntton M
LCH*Ma: 67 82 339
olv*Ma: 1.0 0.0 1.0

Dreiecks-Helligkeit *t**

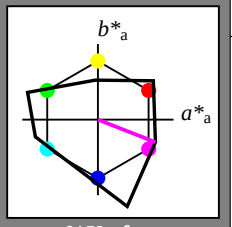

%Umfang
u*$_{rel}$ = 141

%Regularität
g*$_{H,rel}$ = 39
g*$_{C,rel}$ = 43

TLS00; adaptierte CIELAB-Daten

	L*=L*$_a$	a*$_a$	b*$_a$	C*$_{ab,a}$	h*$_{ab,a}$
O$_{Ma}$	65.56	73.34	51.39	89.55	35
Y$_{Ma}$	94.78	−3.49	52.24	52.36	94
L$_{Ma}$	77.48	−92.97	36.0	99.71	159
C$_{Ma}$	78.36	−82.69	−22.74	85.77	195
V$_{Ma}$	12.55	38.81	−114.81	121.2	289
M$_{Ma}$	66.71	76.08	−29.8	81.71	339
N$_{Ma}$	0.01	0.0	0.0	0.0	0
W$_{Ma}$	95.41	0.0	0.0	0.0	0
R$_{CIE}$	47.79	61.74	42.56	74.99	35
J$_{CIE}$	83.82	7.06	70.78	71.13	84
G$_{CIE}$	49.0	−35.95	4.34	36.22	173
B$_{CIE}$	25.14	−17.24	−56.24	58.84	253

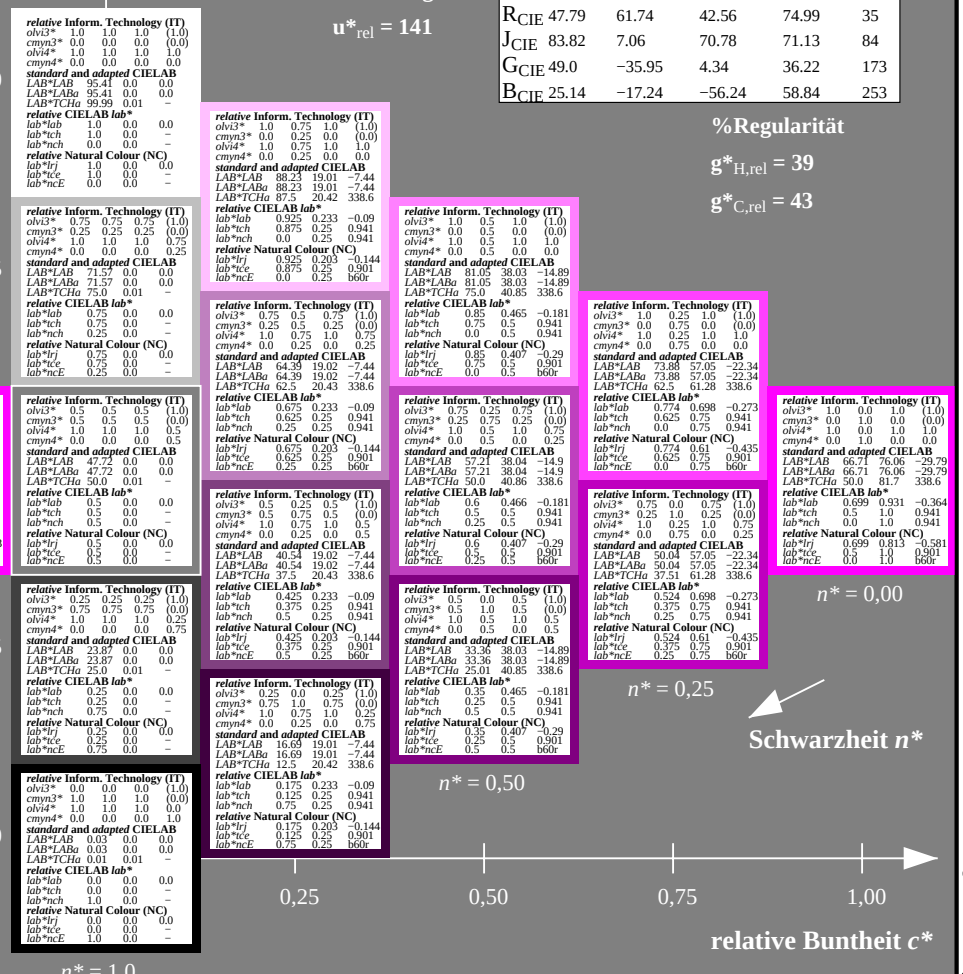

5 stufige Reihen für konstanten CIELAB Buntton 339/360 = 0.941 (rechts)

Eingabe: Farbmetrisches Offset-Reflektiv-System ORS18

für Buntton *h* = lab*h = 34/360 = 0.095*
*lab*tch* und *lab*nch*

A: Buntton R
LCH*Ma: 49 79 34
olv*Ma: 1.0 0.0 0.15

Dreiecks-Helligkeit *t**

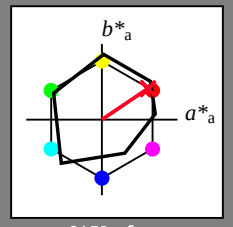

%Umfang

u*$_{rel}$ = 96

ORS18; adaptierte CIELAB-Daten

	L*=L*a	a*a	b*a	C*ab,a	h*ab,a
O_{Ma}	47.94	64.42	50.58	81.9	38
Y_{Ma}	92.62	2.41	86.36	86.39	88
L_{Ma}	50.9	−63.82	35.02	72.81	151
C_{Ma}	51.25	−53.68	−57.69	78.82	227
V_{Ma}	25.72	30.34	−44.37	53.76	304
M_{Ma}	56.25	70.59	7.57	70.99	6
N_{Ma}	18.11	0.0	0.0	0.0	0
W_{Ma}	95.6	0.0	0.0	0.0	0
R_{CIE}	47.79	60.85	41.08	73.41	34
J_{CIE}	83.82	6.52	66.9	67.22	84
G_{CIE}	49.0	−36.83	2.78	36.95	176
B_{CIE}	25.14	−18.35	−56.22	59.15	252

%Regularität

g*$_{H,rel}$ = −385

g*$_{C,rel}$ = 62

1,00
0,75
0,25
0,00

n* = 1,0
n* = 0,50
n* = 0,25
n* = 0,00

Schwarzheit *n**

0,25 0,50 0,75 1,00

relative Buntheit *c**

Ausgabe: Farbmetrisches Fernseh-Licht-System TLS00

für Buntton *h* = lab*h = 35/360 = 0.096*
*lab*tch* und *lab*nch*

A: Buntton R
LCH*Ma: 66 89 35
olv*Ma: 1.0 0.0 0.01

Dreiecks-Helligkeit *t**

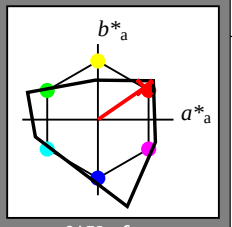

%Umfang

u*$_{rel}$ = 141

TLS00; adaptierte CIELAB-Daten

	L*=L*a	a*a	b*a	C*ab,a	h*ab,a
O_{Ma}	65.56	73.34	51.39	89.55	35
Y_{Ma}	94.78	−3.49	52.24	52.36	94
L_{Ma}	77.48	−92.97	36.0	99.71	159
C_{Ma}	78.36	−82.69	−22.74	85.77	195
V_{Ma}	12.55	38.81	−114.81	121.2	289
M_{Ma}	66.71	76.08	−29.8	81.71	339
N_{Ma}	0.01	0.0	0.0	0.0	0
W_{Ma}	95.41	0.0	0.0	0.0	0
R_{CIE}	47.79	61.74	42.56	74.99	35
J_{CIE}	83.82	7.06	70.78	71.13	84
G_{CIE}	49.0	−35.95	4.34	36.22	173
B_{CIE}	25.14	−17.24	−56.24	58.84	253

%Regularität

g*$_{H,rel}$ = 39

g*$_{C,rel}$ = 43

1,00
0,75
0,25
0,00

n* = 1,0
n* = 0,50
n* = 0,25
n* = 0,00

Schwarzheit *n**

0,25 0,50 0,75 1,00

relative Buntheit *c**

RG500−7, 5 stufige Reihen für konstanten CIELAB Buntton 34/360 = 0.095 (links)

5 stufige Reihen für konstanten CIELAB Buntton 35/360 = 0.096 (rechts)

Eingabe: Farbmetrisches Offset-Reflektiv-System ORS18

für Buntton *h* = lab*h = 84/360 = 0.235*
*lab*tch* und *lab*nch*

A: Buntton J
LCH*Ma: 89 83 84
olv*Ma: 1.0 0.91 0.0

Dreiecks-Helligkeit *t**

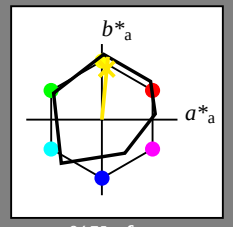

%Umfang

$u^*_{rel} = 96$

ORS18; adaptierte CIELAB-Daten

	$L^*=L^*_a$	a^*_a	b^*_a	$C^*_{ab,a}$	$h^*_{ab,a}$
O_{Ma}	47.94	64.42	50.58	81.9	38
Y_{Ma}	92.62	2.41	86.36	86.39	88
L_{Ma}	50.9	−63.82	35.02	72.81	151
C_{Ma}	51.25	−53.68	−57.69	78.82	227
V_{Ma}	25.72	30.34	−44.37	53.76	304
M_{Ma}	56.25	70.59	7.57	70.99	6
N_{Ma}	18.11	0.0	0.0	0.0	0
W_{Ma}	95.6	0.0	0.0	0.0	0
R_{CIE}	47.79	60.85	41.08	73.41	34
J_{CIE}	83.82	6.52	66.9	67.22	84
G_{CIE}	49.0	−36.83	2.78	36.95	176
B_{CIE}	25.14	−18.35	−56.22	59.15	252

%Regularität

$g^*_{H,rel} = -385$

$g^*_{C,rel} = 62$

1,00
0,75
0,25
0,00

Schwarzheit *n**

*n** = 0,00
*n** = 0,25
*n** = 0,50
*n** = 1,0

0,25 0,50 0,75 1,00

relative Buntheit *c**

Ausgabe: Farbmetrisches Fernseh-Licht-System TLS00

für Buntton *h* = lab*h = 84/360 = 0.234*
*lab*tch* und *lab*nch*

A: Buntton J
LCH*Ma: 91 52 84
olv*Ma: 1.0 0.89 0.0

Dreiecks-Helligkeit *t**

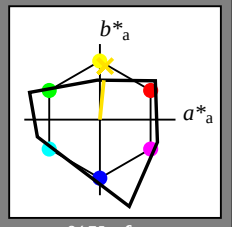

%Umfang

$u^*_{rel} = 141$

TLS00; adaptierte CIELAB-Daten

	$L^*=L^*_a$	a^*_a	b^*_a	$C^*_{ab,a}$	$h^*_{ab,a}$
O_{Ma}	65.56	73.34	51.39	89.55	35
Y_{Ma}	94.78	−3.49	52.24	52.36	94
L_{Ma}	77.48	−92.97	36.0	99.71	159
C_{Ma}	78.36	−82.69	−22.74	85.77	195
V_{Ma}	12.55	38.81	−114.81	121.2	289
M_{Ma}	66.71	76.08	−29.8	81.71	339
N_{Ma}	0.01	0.0	0.0	0.0	0
W_{Ma}	95.41	0.0	0.0	0.0	0
R_{CIE}	47.79	61.74	42.56	74.99	35
J_{CIE}	83.82	7.06	70.78	71.13	84
G_{CIE}	49.0	−35.95	4.34	36.22	173
B_{CIE}	25.14	−17.24	−56.24	58.84	253

%Regularität

$g^*_{H,rel} = 39$

$g^*_{C,rel} = 43$

Schwarzheit *n**

relative Buntheit *c**

RG500−7, 5 stufige Reihen für konstanten CIELAB Buntton 84/360 = 0.235 (links)

5 stufige Reihen für konstanten CIELAB Buntton 84/360 = 0.234 (rechts)

Eingabe: Farbmetrisches Offset-Reflektiv-System ORS18

für Buntton *h* = lab*h = 176/360 = 0.488*
*lab*tch* und *lab*nch*

A: Buntton G
LCH*Ma: 51 61 176
olv*Ma: 0.0 1.0 0.33

Dreiecks-Helligkeit *t**

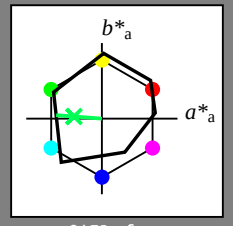

%Umfang

u*$_{rel}$ = 96

ORS18; adaptierte CIELAB-Daten

	L*=L*$_a$	a*$_a$	b*$_a$	C*$_{ab,a}$	h*$_{ab,a}$
O_{Ma}	47.94	64.42	50.58	81.9	38
Y_{Ma}	92.62	2.41	86.36	86.39	88
L_{Ma}	50.9	−63.82	35.02	72.81	151
C_{Ma}	51.25	−53.68	−57.69	78.82	227
V_{Ma}	25.72	30.34	−44.37	53.76	304
M_{Ma}	56.25	70.59	7.57	70.99	6
N_{Ma}	18.11	0.0	0.0	0.0	0
W_{Ma}	95.6	0.0	0.0	0.0	0
R_{CIE}	47.79	60.85	41.08	73.41	34
J_{CIE}	83.82	6.52	66.9	67.22	84
G_{CIE}	49.0	−36.83	2.78	36.95	176
B_{CIE}	25.14	−18.35	−56.22	59.15	252

%Regularität

g*$_{H,rel}$ = −385

g*$_{C,rel}$ = 62

Ausgabe: Farbmetrisches Fernseh-Licht-System TLS00

für Buntton *h* = lab*h = 173/360 = 0.481*
*lab*tch* und *lab*nch*

A: Buntton G
LCH*Ma: 78 89 173
olv*Ma: 0.0 1.0 0.43

Dreiecks-Helligkeit *t**

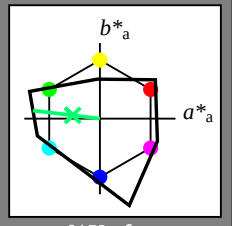

%Umfang

u*$_{rel}$ = 141

TLS00; adaptierte CIELAB-Daten

	L*=L*$_a$	a*$_a$	b*$_a$	C*$_{ab,a}$	h*$_{ab,a}$
O_{Ma}	65.56	73.34	51.39	89.55	35
Y_{Ma}	94.78	−3.49	52.24	52.36	94
L_{Ma}	77.48	−92.97	36.0	99.71	159
C_{Ma}	78.36	−82.69	−22.74	85.77	195
V_{Ma}	12.55	38.81	−114.81	121.2	289
M_{Ma}	66.71	76.08	−29.8	81.71	339
N_{Ma}	0.01	0.0	0.0	0.0	0
W_{Ma}	95.41	0.0	0.0	0.0	0
R_{CIE}	47.79	61.74	42.56	74.99	35
J_{CIE}	83.82	7.06	70.78	71.13	84
G_{CIE}	49.0	−35.95	4.34	36.22	173
B_{CIE}	25.14	−17.24	−56.24	58.84	253

%Regularität

g*$_{H,rel}$ = 39

g*$_{C,rel}$ = 43

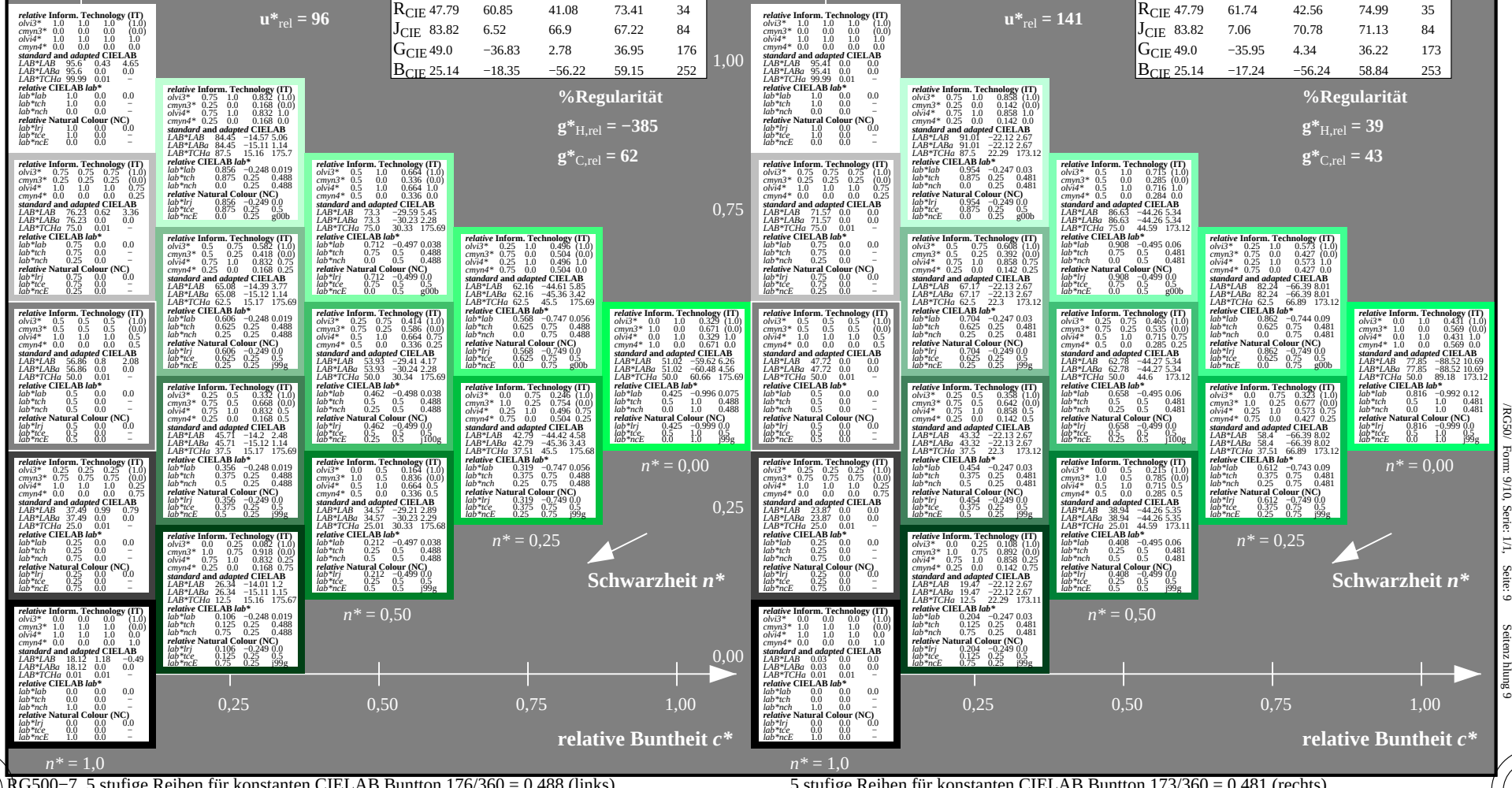

RG500−7, 5 stufige Reihen für konstanten CIELAB Buntton 176/360 = 0.488 (links)

5 stufige Reihen für konstanten CIELAB Buntton 173/360 = 0.481 (rechts)

www.ps.bam.de/RG50/10S/S50G09SP.PS/.PDF;
S: Ausgabe-Linearisierung (OL-Daten) RG50/10S/S50G09SP.DAT im Distiller Startup (S) Directory

Siehe ähnliche Dateien: http://www.ps.bam.de/RG50/
Technische Information: http://www.ps.bam.de Version 2.1, io=1,1?

BAM-Registrierung: 20060101-RG50/10S/S50G09SP.PS/.PDF BAM-Material: Code=rha4ta
Anwendung für Beurteilung und Messung von Drucker– oder Monitorsystemen
/RG50/ Form: 10/10Serie: 1/1, Seite: 10 Sättenz hlung 10

Eingabe: Farbmetrisches Offset-Reflektiv-System ORS18

für Buntton *h* = lab*h = 252/360 = 0.7*
*lab*tch* und *lab*nch*

A: Buntton B
LCH*Ma: 40 55 252
olv*Ma: 0.0 0.56 1.0

Dreiecks-Helligkeit *t**

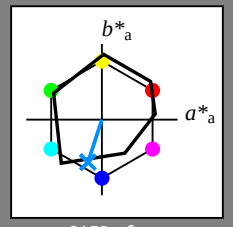

%Umfang

u^*_{rel} = 96

ORS18; adaptierte CIELAB-Daten

	$L^*=L^*_a$	a^*_a	b^*_a	$C^*_{ab,a}$	$h^*_{ab,a}$
O_{Ma}	47.94	64.42	50.58	81.9	38
Y_{Ma}	92.62	2.41	86.36	86.39	88
L_{Ma}	50.9	−63.82	35.02	72.81	151
C_{Ma}	51.25	−53.68	−57.69	78.82	227
V_{Ma}	25.72	30.34	−44.37	53.76	304
M_{Ma}	56.25	70.59	7.57	70.99	6
N_{Ma}	18.11	0.0	0.0	0.0	0
W_{Ma}	95.6	0.0	0.0	0.0	0
R_{CIE}	47.79	60.85	41.08	73.41	34
J_{CIE}	83.82	6.52	66.9	67.22	84
G_{CIE}	49.0	−36.83	2.78	36.95	176
B_{CIE}	25.14	−18.35	−56.22	59.15	252

1,00

%Regularität

$g^*_{H,rel}$ = −385

$g^*_{C,rel}$ = 62

0,75

0,25

0,00

n^* = 0,00

n^* = 0,25

n^* = 0,50

n^* = 1,0

Schwarzheit n^*

0,25 0,50 0,75 1,00

relative Buntheit c^*

Ausgabe: Farbmetrisches Fernseh-Licht-System TLS00

für Buntton *h* = lab*h = 253/360 = 0.703*
*lab*tch* und *lab*nch*

A: Buntton B
LCH*Ma: 45 72 253
olv*Ma: 0.0 0.49 1.0

Dreiecks-Helligkeit *t**

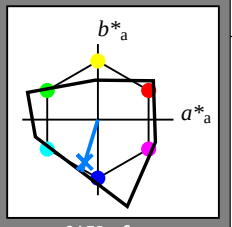

%Umfang

u^*_{rel} = 141

TLS00; adaptierte CIELAB-Daten

	$L^*=L^*_a$	a^*_a	b^*_a	$C^*_{ab,a}$	$h^*_{ab,a}$
O_{Ma}	65.56	73.34	51.39	89.55	35
Y_{Ma}	94.78	−3.49	52.24	52.36	94
L_{Ma}	77.48	−92.97	36.0	99.71	159
C_{Ma}	78.36	−82.69	−22.74	85.77	195
V_{Ma}	12.55	38.81	−114.81	121.2	289
M_{Ma}	66.71	76.08	−29.8	81.71	339
N_{Ma}	0.01	0.0	0.0	0.0	0
W_{Ma}	95.41	0.0	0.0	0.0	0
R_{CIE}	47.79	61.74	42.56	74.99	35
J_{CIE}	83.82	7.06	70.78	71.13	84
G_{CIE}	49.0	−35.95	4.34	36.22	173
B_{CIE}	25.14	−17.24	−56.24	58.84	253

%Regularität

$g^*_{H,rel}$ = 39

$g^*_{C,rel}$ = 43

RG500−7, 5 stufige Reihen für konstanten CIELAB Buntton 252/360 = 0.7 (links)

5 stufige Reihen für konstanten CIELAB Buntton 253/360 = 0.703 (rechts)

BAM-Prüfvorlage RG50; Farbmetrik-Systeme ORS18 & ORS18 input: *olv* setrgbcolor*
A: 2 Koordinatendaten; 5stufige Farbreihen für 10 Bunttöne output: *Startup (S) data dependend*